

Relatório de Cálculo Numérico

Alison de Oliveira Tristão

Vitor João de Andrade

9 de dezembro de 2024

1 Introdução

Este relatório aborda a aplicação de métodos numéricos para resolver problemas matemáticos. São explorados cinco questões principais, desde a aproximação de integrais, resolução de equações diferenciais parciais (EDPs), representação de sistemas lineares, interpolação polinomial até a otimização de funções. A utilização de métodos como os de Retângulos, Trapézios e Simpson para integração, Euler e Runge-Kutta para EDPs, bem como técnicas como minimização por LDLT, fatoração de Cholesky e gradiente residual para ajuste de sistemas lineares, com implementações em Python.

2 Problema 1: Integração

O cálculo de integrais é um problema comum em cálculo, simulação e programação, especialmente quando a função não tem uma expressão analítica ou é difícil de ser definida. Esse tipo de problema aparece em diversas áreas, como processamento de sinais, controle de sistemas embarcados, e simulação de processos físicos. Muitas vezes, a solução numérica é suficiente, uma vez que buscamos apenas um valor aproximado da integral, permitindo uma flexibilidade na precisão computacional com controle de custo e tempo de execução.

Para calcular a integral, utilizamos diferentes métodos de aproximação utilizando amostragem da função e interpolação entre as amostras, sendo as mais comuns:

- **Método dos Retângulos:** Aproxima o valor entre as amostras com uma reta horizontal, mantendo o valor da amostra constante até a próxima, que pode ser da esquerda para direita, vice-versa ou usando o ponto médio.
- **Método dos Trapézios:** Conecta duas amostras consecutivas por uma linha reta, proporcionando uma aproximação mais precisa da área sob a curva.
- **Método de Simpson:** Usa uma parábola para aproximar a função entre duas amostras consecutivas, oferecendo uma precisão ainda maior em comparação com os métodos anteriores.

Para resolver numericamente a integral da função $\sin(t^2)$ entre 0 e $x = 20$, utilizamos esses três métodos, variando o tamanho dos passos $h = \{10^{-5}, 10^{-4}, 10^{-3}, 10^{-2}, 10^{-1}, 1\}$.

2.1 Método dos Retângulos

O método dos retângulos aproxima a integral de uma função somando áreas de retângulos, com base na largura h e na altura dada pelos valores da função. A fórmula do método é:

$$\int_a^b f(x) dx \approx \sum_{i=1}^n f(x_i) \cdot h$$

Onde $h = \frac{b-a}{n}$ e $x_i = a + i \cdot h$.

A função em Python para este método é a seguinte:

```
1 def rectangle_method(func, a, b, h):
2     # number of points in interval
3     N = int((b - a)/h)
4
5     # sum of all points with a h step
6     result = 0
7     for i in range(N - 1):
8         result += func(a + i * h)
9
10    # return the sum multiplied by space between points
11    return result * h
```

Listing 1: Python - Método dos Retângulos

Os resultados para diferentes valores de h são apresentados na Tabela 1.

h	Valor	Tempo (s)
1	-4.02525	0.000004
10^{-1}	0.59766	0.000035
10^{-2}	0.64968	0.000483
10^{-3}	0.64106	0.004036
10^{-4}	0.63994	0.036321
10^{-5}	0.63983	0.375208

Tabela 1: Resultados do Método dos Retângulos

2.2 Método dos Trapézios

O método dos trapézios usa uma linha reta para conectar amostras consecutivas. A fórmula para esse método é:

$$\int_a^b f(x) dx \approx \frac{h}{2} \left(f(a) + 2 \sum_{i=1}^{n-1} f(x_i) + f(b) \right)$$

Onde $h = \frac{b-a}{n}$ e $x_i = a + i \cdot h$.

A função Python correspondente é:

```
1 def trapeze_method(fun, a, b, h):
2     # number of points in interval
3     N = int((b - a)/h)
4
5     # sum all points with a space between them
6     result = 0
7     for i in range(1, N - 1):
8         result += fun(a + i * h) * 2
9
10    # sum with the first and last point
11    result += (fun(a) + fun(b))
12
13    # multiply by the space between points
14    return result * h/2
```

Listing 2: Python - Método dos Trapézios

Os resultados estão na Tabela 2.

h	Valor	Tempo (s)
1	-3.09559	0.000004
10^{-1}	0.59767	0.000054
10^{-2}	0.64543	0.000855
10^{-3}	0.64064	0.006119
10^{-4}	0.63990	0.039687
10^{-5}	0.63983	0.378847

Tabela 2: Resultados do Método dos Trapézios

2.3 Método de Simpson

O método de Simpson utiliza parábolas para aproximar a função. Sua fórmula é:

$$\int_a^b f(x) dx \approx \frac{h}{3} \left(f(a) + 4 \sum_{i=1, \text{ímpar}}^{n-1} f(x_i) + 2 \sum_{i=2, \text{par}}^{n-2} f(x_i) + f(b) \right)$$

A função Python correspondente é:

```
1 def simpson_method(func, a, b, h):
2     # number of points in interval
3     N = int((b - a)/h)
4
5     # sum all odd points
6     result = 0
7     for i in range(1, N - 1, 2):
8         result += 4 * func(a + i * h)
9
10    # sum all even points
11    for i in range(2, N - 2, 2):
12        result += 2 * func(a + i * h)
13
14    # sum the first and last points
15    result += func(a) + func(b)
16
17    # multiply by the space between points
18    return result * h/3
```

Listing 3: Python - Método de Simpson

Os resultados para os espaços h estão na Tabela 3.

h	Valor	Tempo (s)
1	-3.59979	0.000003
10^{-1}	0.99788	0.000037
10^{-2}	0.64898	0.000644
10^{-3}	0.64146	0.004454
10^{-4}	0.63999	0.039835
10^{-5}	0.63983	0.375584

Tabela 3: Resultados do Método de Simpson

3 Questão 2: Equação de Calor no Espaço-Tempo

Uma EDP bastante estudada é a equação do calor:

$$\frac{\partial T}{\partial t} = k \frac{\partial^2 T(x, t)}{\partial x^2} - q(x, t) \quad (1)$$

Esta equação descreve os valores de temperatura \mathbf{T} ao longo de um eixo unidimensional e ao longo do tempo, onde $x \in (0, 1)$. Para resolver a equação, consideramos o fluxo de calor exógeno $q(x, t) = 0 \forall x, t$, por motivos de simplificação, e então começamos definindo as condições de contorno $\forall t$:

$$\begin{cases} T(0, t) = T_{\text{begin}} \\ T(1, t) = T_{\text{end}} \end{cases} \quad (2)$$

Também definimos as condições iniciais no tempo, $\forall x \in (0, 1)$:

$$T(x, 0) = T_0 \quad (3)$$

Aplicando o método das Diferenças Finitas, a EDP pode ser representada como uma EDO, aproximada pela seguinte equação discreta:

$$\dot{\mathbf{T}} = \left(\frac{k}{h^2} \right) (\mathbf{D}_2 \mathbf{T} - \mathbf{BC}) \quad (4)$$

Onde \mathbf{D}_2 , \mathbf{T} , \mathbf{Q} e \mathbf{BC} são matrizes e vetores de dimensões adequadas. Já o parâmetro h é o espaçamento dos pontos de interesse, sendo os mesmos definidos da seguinte forma:

$$x_{i+1} = x_i + h \quad (5)$$

Assim, podemos definir nossa matriz de temperaturas como:

$$\mathbf{T} = \begin{pmatrix} T_1 \\ T_2 \\ \vdots \\ T_N \end{pmatrix} = \begin{pmatrix} T(x_1) \\ T(x_2) \\ \vdots \\ T(x_N) \end{pmatrix} \quad (6)$$

Onde $N \in \mathbb{N}$:

$$N = \frac{1}{h} - 1 \quad (7)$$

Logo, a distribuição de temperaturas pode ser vista de uma maneira discreta ao longo de x :

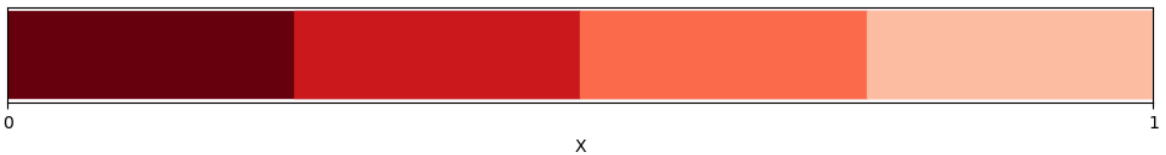


Figura 1: Discretização da Temperatura no Eixo x

A matriz $\mathbf{D}_2 \in \mathbb{R}^{N \times N}$ é construída através da discretização da derivada parcial no espaço. A matriz $\mathbf{BC} \in \mathbb{R}^N$ resulta das condições de contorno. As representações dessas matrizes são dadas a seguir:

$$\mathbf{D}_2 = \begin{bmatrix} -2 & 1 & 0 & 0 & \cdots & 0 \\ 1 & -2 & 1 & 0 & \cdots & 0 \\ 0 & 1 & -2 & 1 & \cdots & 0 \\ \vdots & \vdots & \vdots & \vdots & \ddots & \vdots \\ 0 & 0 & 0 & 0 & 1 & -2 \end{bmatrix} \quad (8)$$

$$\mathbf{BC} = \begin{pmatrix} T_{\text{begin}} \\ 0 \\ \vdots \\ T_{\text{end}} \end{pmatrix} \quad (9)$$

Generalizamos a matriz D_2 da seguinte forma: para a linha i e a coluna j , a estrutura é dada por:

$$\mathbf{D}_2(i, j) = \begin{cases} -2 & \text{se } i = j \\ 1 & \text{se } i = j + 1 \text{ ou } i = j - 1 \\ 0 & \text{caso contrário} \end{cases} \quad (10)$$

Sabendo disso, iremos resolver três situações de maneira numérica utilizando os métodos Euler e Runge–Kutta.

- $k = 2.5$
- $T_{\text{begin}} = 60$
- $T_{\text{end}} = 40$
- $T0 = 50$

Considerando:

$$h = \begin{cases} 0.2 & \text{caso (a)} \\ 0.1 & \text{caso (b)} \\ 0.05 & \text{caso (c)} \end{cases} \quad (11)$$

Sabendo disso, para aplicar a resolução, usamos o método de Euler como aproximação de primeira ordem, definido como:

$$T_{n+1} = T_n + \Delta t \cdot f(T_n) \quad (12)$$

Também o método de Runge-Kutta como uma aproximação de quarta ordem:

$$\begin{aligned}
k_1 &= \Delta t \cdot f(T_n) \\
k_2 &= \Delta t \cdot f\left(T_n + \frac{k_1}{2}\right) \\
k_3 &= \Delta t \cdot f\left(T_n + \frac{k_2}{2}\right) \\
k_4 &= \Delta t \cdot f(T_n + k_3) \\
T_{n+1} &= T_n + \frac{1}{6} (k_1 + 2k_2 + 2k_3 + k_4)
\end{aligned} \tag{13}$$

Utilizando Python, o algoritmo para solução desenvolvido foi:

```

1 def function(T):
2     return const * (D2 @ T + BC)
3
4 def euler_step(T, step):
5     return T + step * function(T)
6
7 def runge_kutta_step(T, step):
8     k1 = step * function(T)
9     k2 = step * function(T + 0.5 * k1)
10    k3 = step * function(T + 0.5 * k2)
11    k4 = step * function(T + k3)
12    return T + (k1 + 2*k2 + 2*k3 + k4) / 6
13
14 def solver(T, t_end, dt, step_method):
15     time_steps = int(t_end/dt)
16     T_history = np.zeros((time_steps, N))
17
18     for i in range(time_steps):
19         T_history[i] = T
20         T = step_method(T, dt)
21
22     return T_history.T
23
24 min_step = 1/max(np.linalg.eig(abs(const*D2))[0])
25 time_simulation = 0.05
26
27 step = min_step
28 if time_simulation/min_step > 1000:
29     print("Quantidade maxima de steps excedidas!")
30     step = time_simulation/1000
31
32 result_euler = solver(np.full(N, t0, dtype=float),
33                       time_simulation, step, euler_step)
34 result_runge = solver(np.full(N, t0, dtype=float),
35                       time_simulation, step, runge_kutta_step)

```

Listing 4: Python - Euler e Runge-Kutta

Para calcular a constante de tempo, calculamos o inverso do maior autovalor de $\left(\frac{k}{h^2}\right) \mathbf{D}_2$.

3.1 Situação 1: $h = 0.2$

O comportamento no tempo resolvendo com o método de Euler:

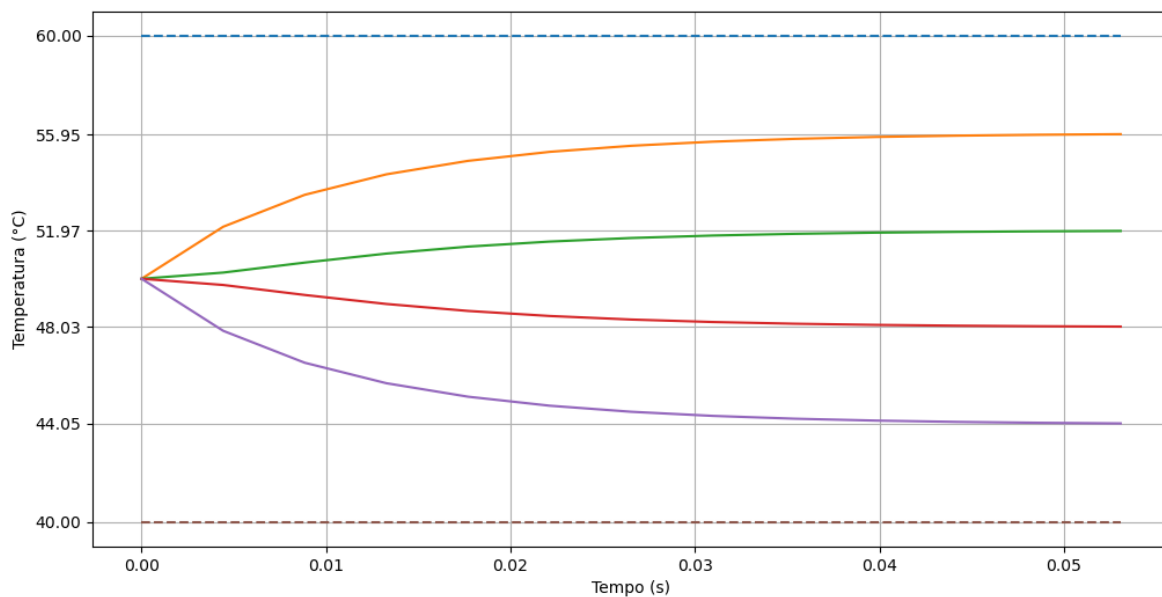


Figura 2: Temperatura por tempo: $h = 0.2$, Método de Euler

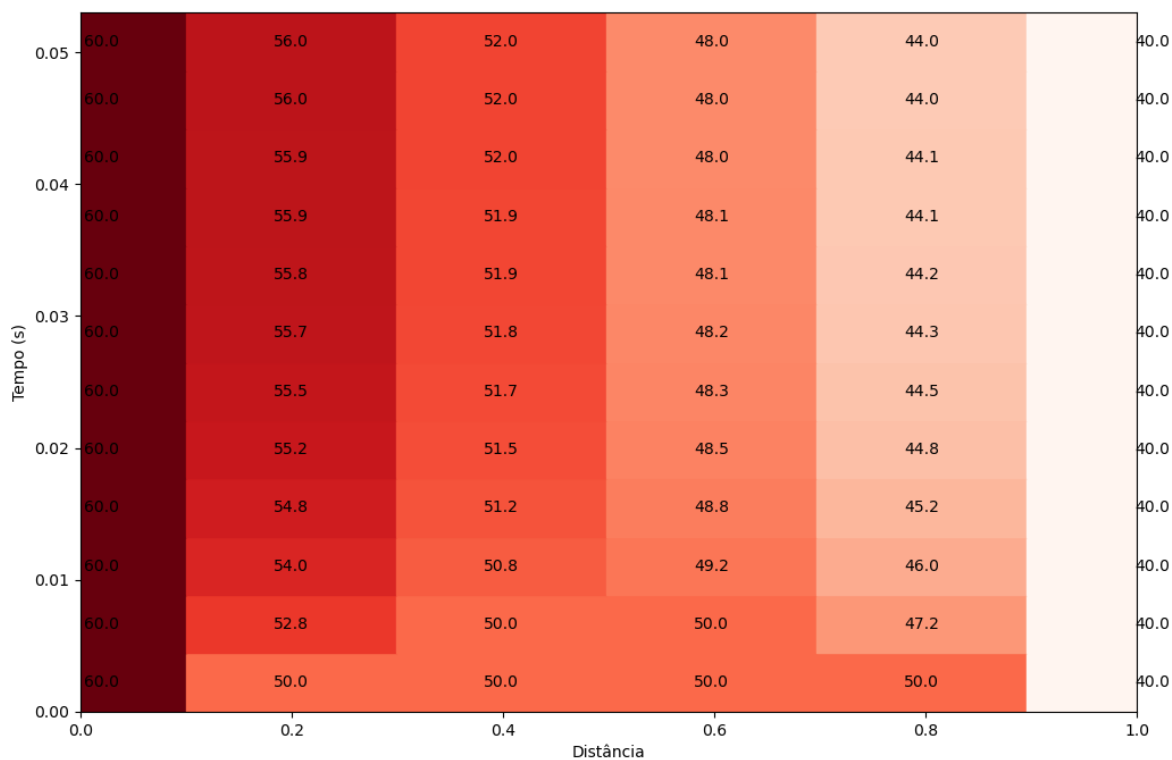


Figura 3: Temperatura por tempo e espaço: $h = 0.2$, Método de Euler

Resolvendo com o método de Runge-Kutta:

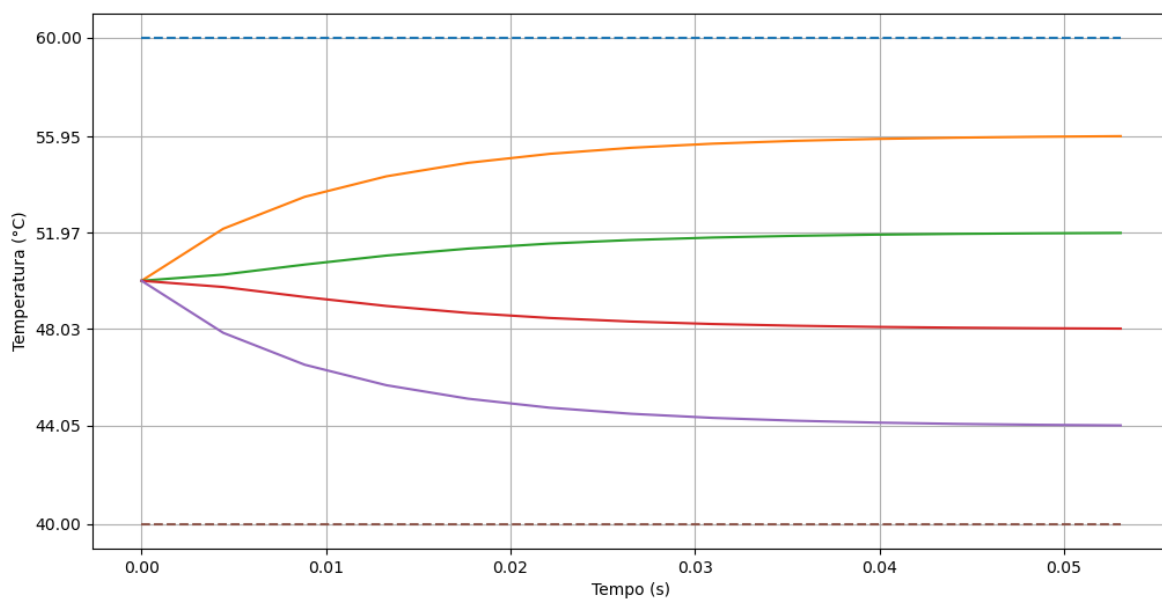


Figura 4: Temperatura por tempo: $h = 0.2$, Método de Runge-Kutta

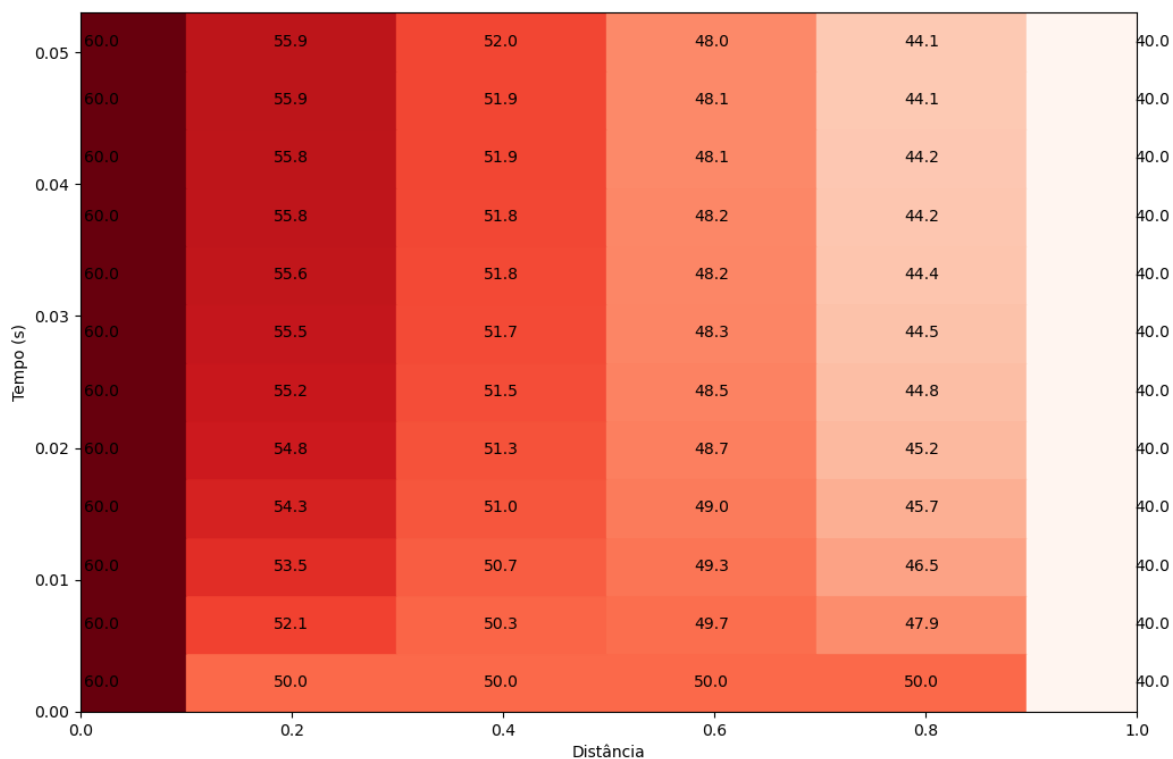


Figura 5: Temperatura por tempo e espaço: $h = 0.2$, Método de Runge-Kutta

3.2 Situação 2: $h = 0.1$

O comportamento no tempo resolvendo com o método de Euler:

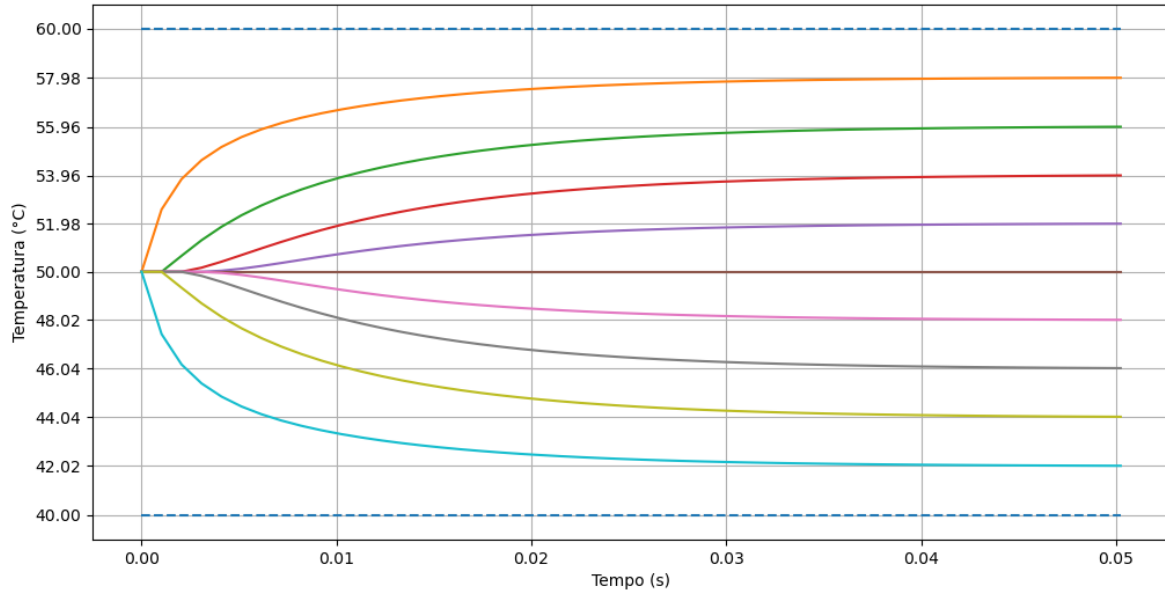


Figura 6: Temperatura por tempo: $h = 0.1$, Método de Euler

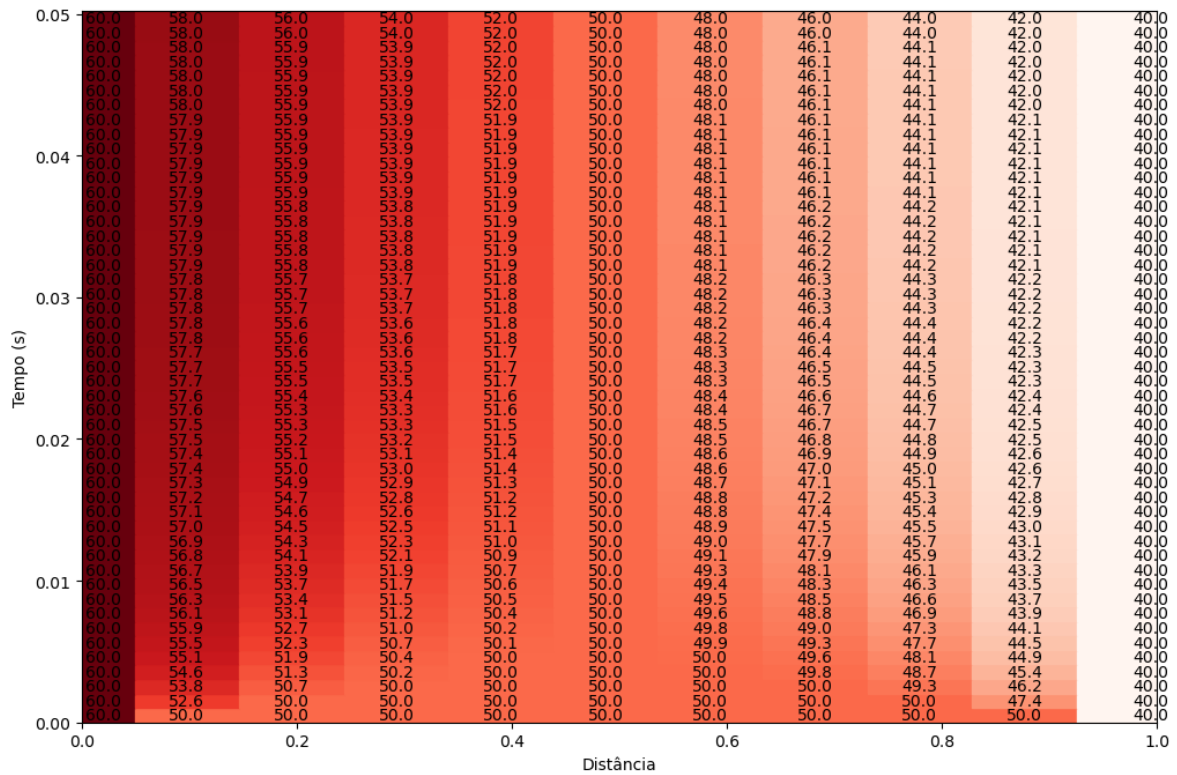


Figura 7: Temperatura por tempo e espaço: $h = 0.1$, Método de Euler

Resolvendo com o método de Runge-Kutta:

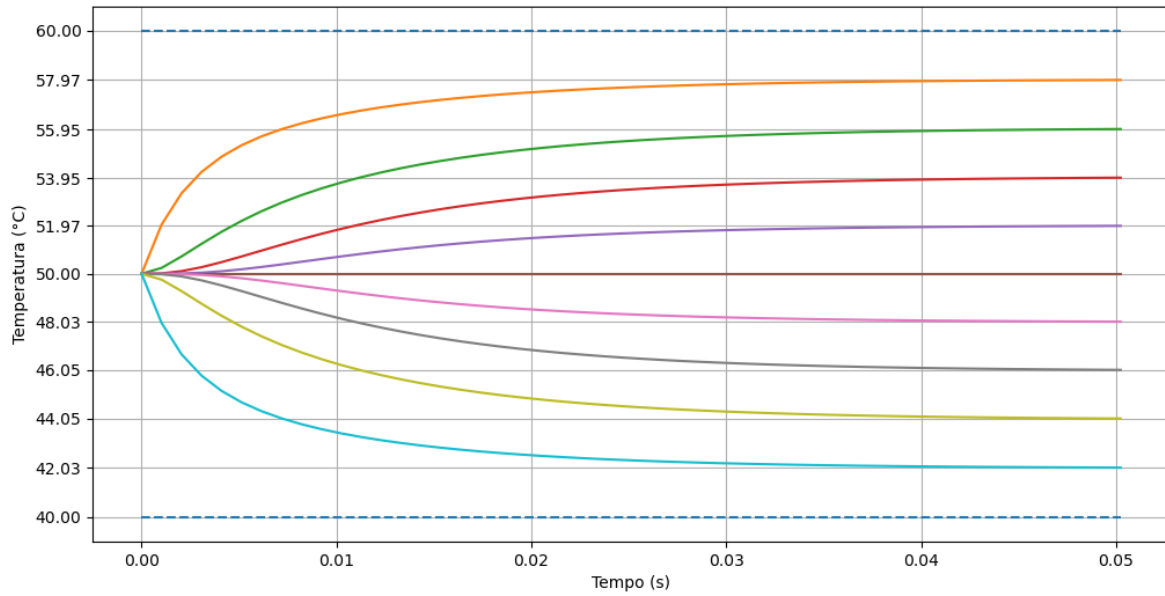


Figura 8: Temperatura por tempo: $h = 0.1$, Método de Runge-Kutta

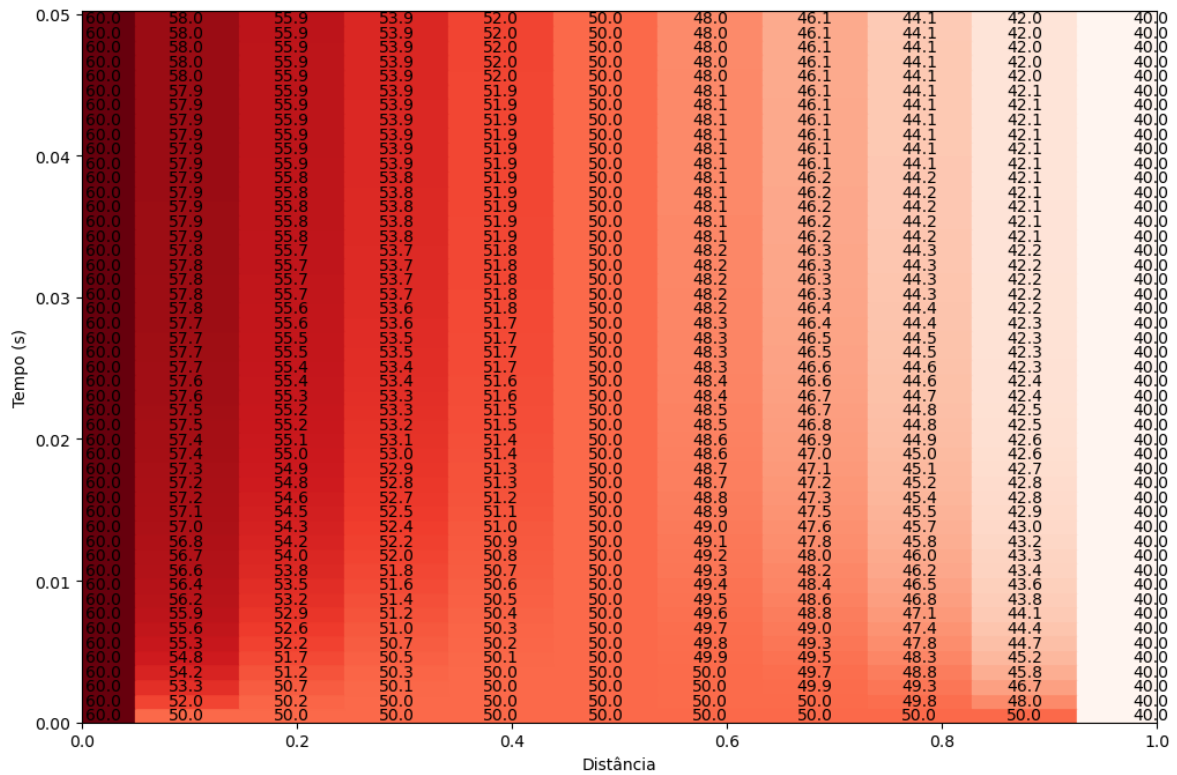


Figura 9: Temperatura por tempo e espaço: $h = 0.1$, Método de Runge-Kutta

3.3 Situação 3: $h = 0.05$

O comportamento no tempo resolvendo com o método de Euler:

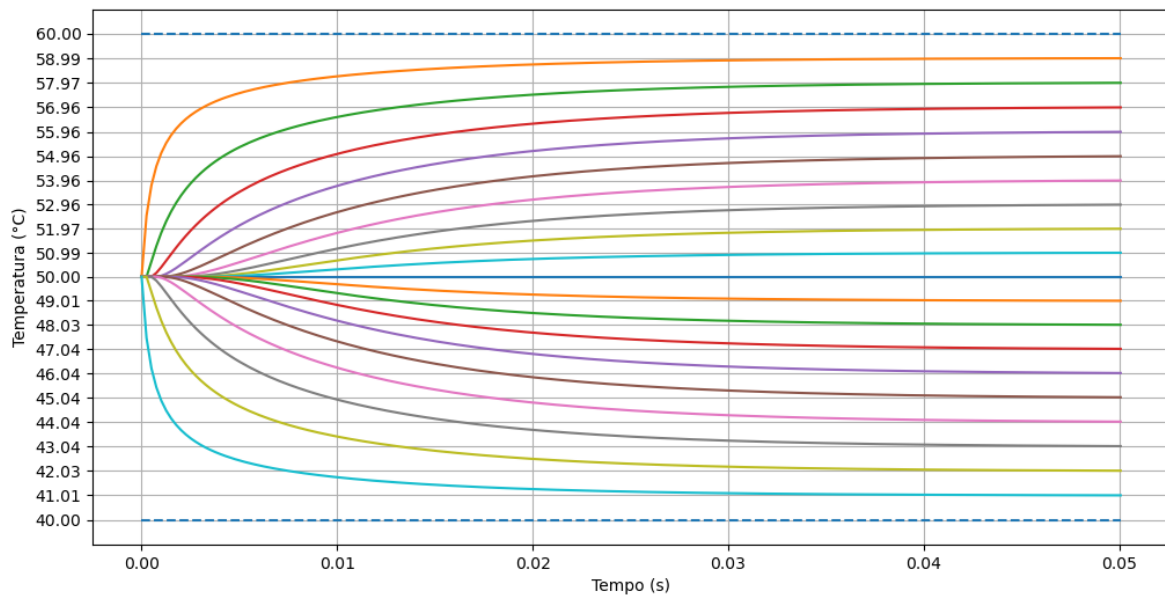


Figura 10: Temperatura por tempo: $h = 0.05$, Método de Euler

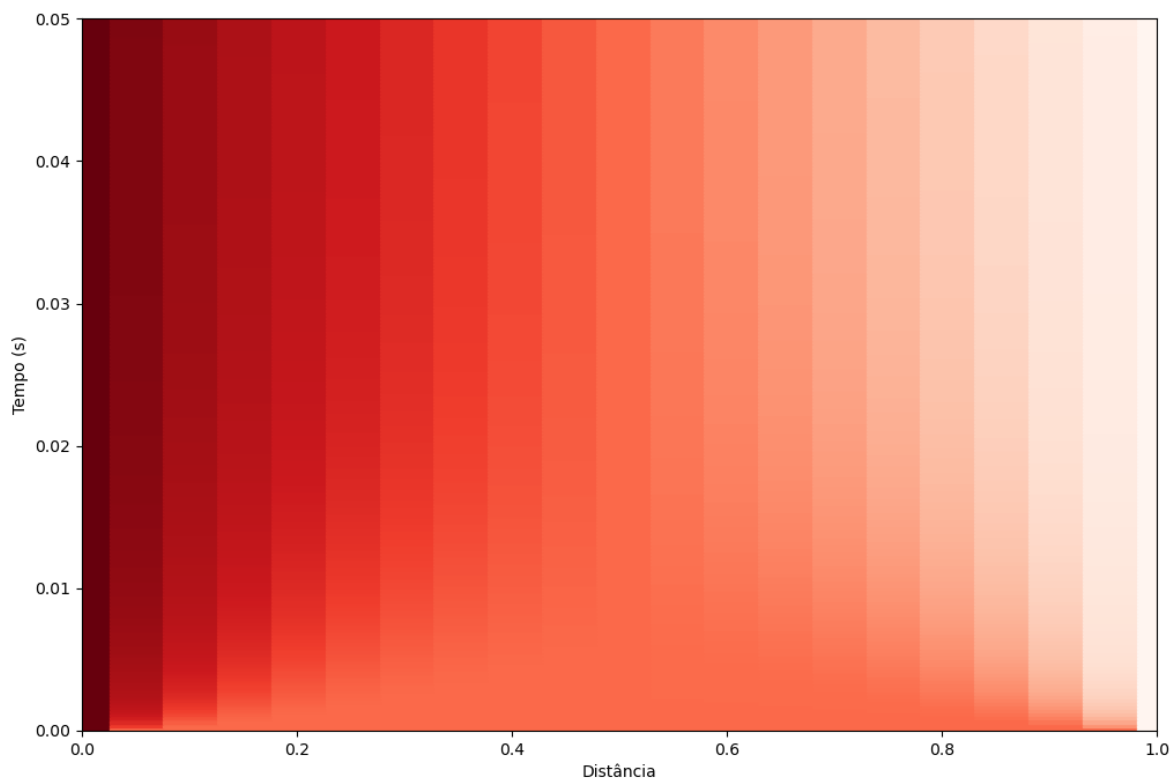


Figura 11: Temperatura por tempo e espaço: $h = 0.05$, Método de Euler

Resolvendo com o método de Runge-Kutta:

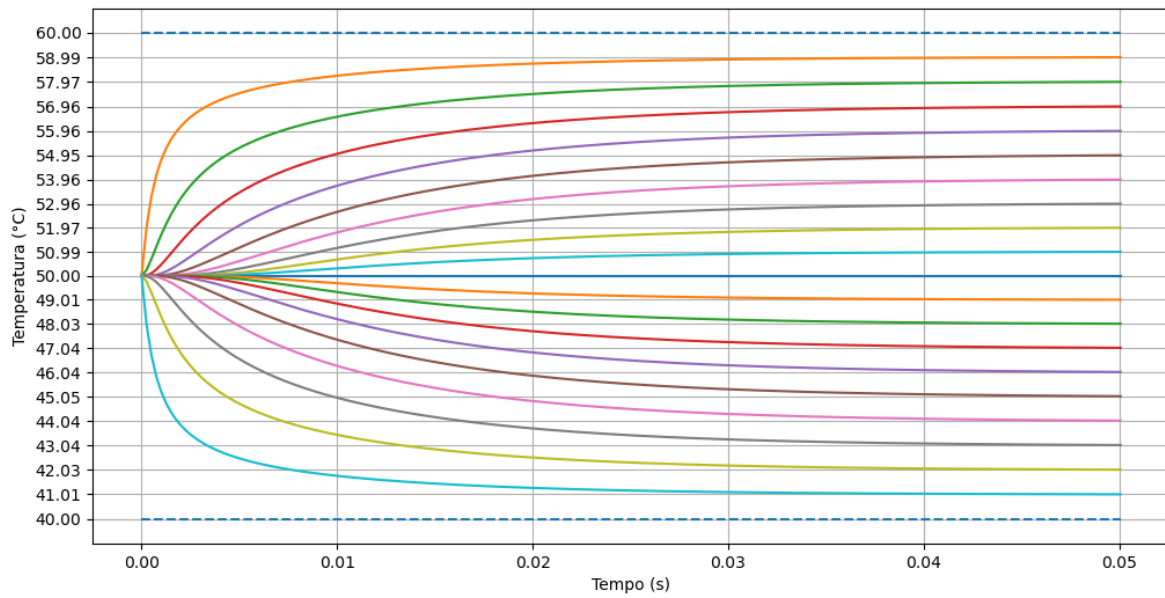


Figura 12: Temperatura por tempo: $h = 0.05$, Método de Runge-Kutta

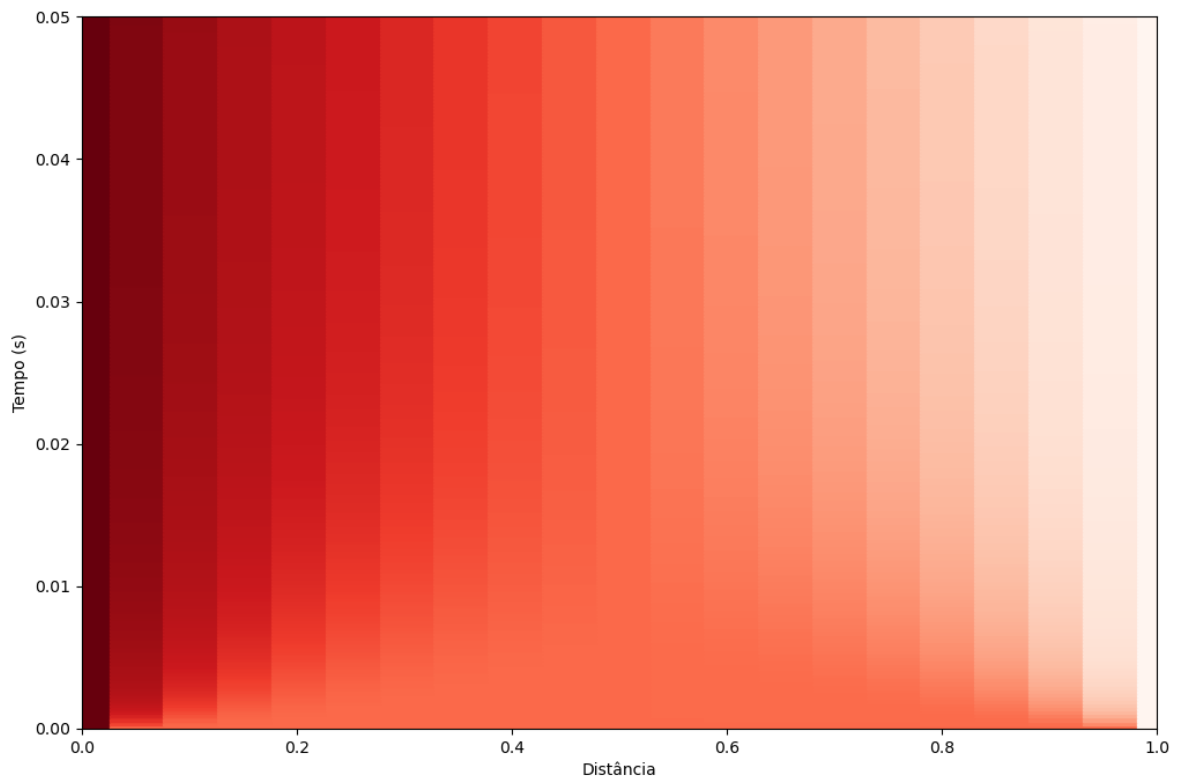


Figura 13: Temperatura por tempo e espaço: $h = 0.05$, Método de Runge-Kutta

3.4 Alterando a Situação de Contorno T_{begin}

Incrementando T_{begin} em 5 a cada 0.2 e simulando ao longo de 2 segundos temos:

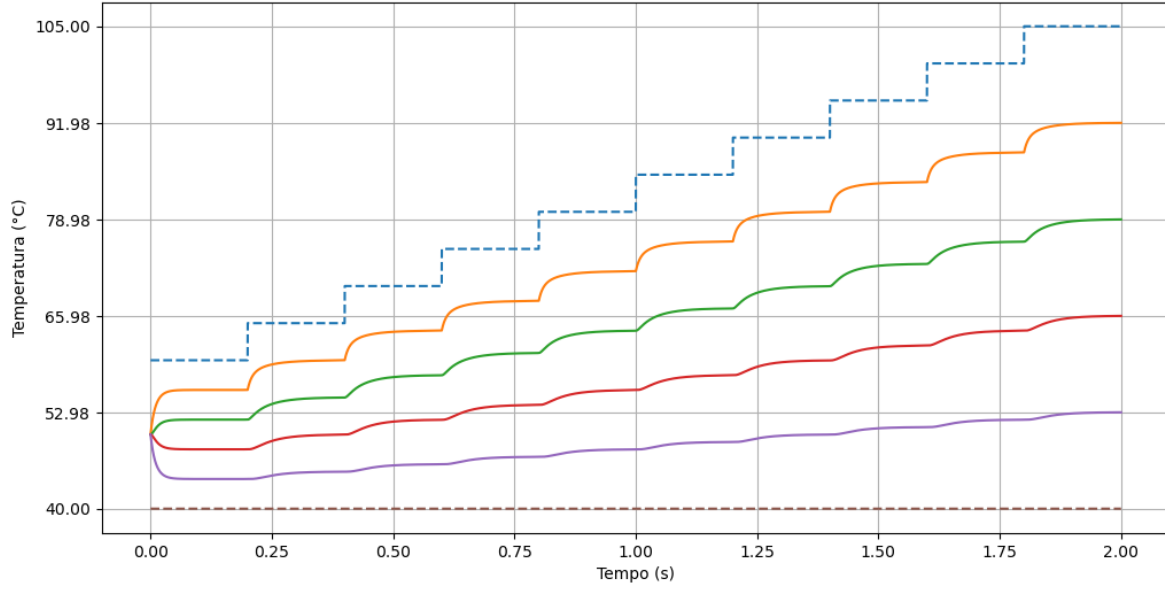


Figura 14: Temperatura por tempo: $h = 0.2$, Método de Euler (Variação de T_{begin})

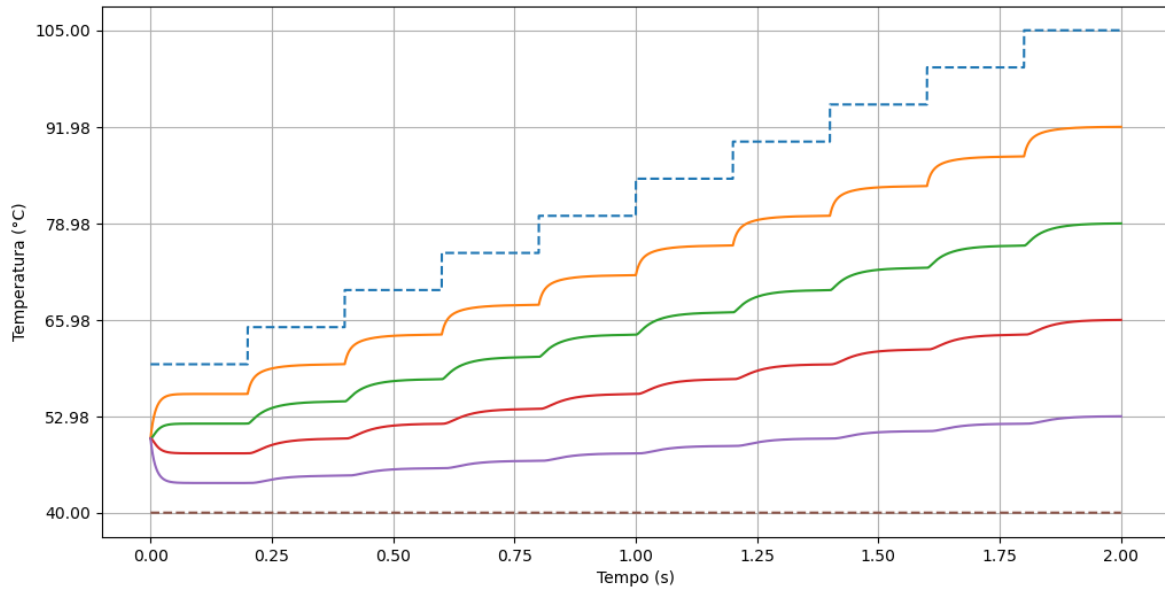


Figura 15: Temperatura por tempo: $h = 0.2$, Método de Runge-Kutta (Variação de T_{begin})

4 Questão 3: Sistema Linear

Observamos que, na questão anterior, é possível representar o comportamento temporal de cada valor de temperatura discreta em x como:

$$\mathbf{T}[k+1] = \mathbf{A} \cdot \mathbf{T}[k] + \mathbf{B} \cdot T_{\text{begin}}[k], \quad (14)$$

onde \mathbf{A} é uma matriz $N \times N$ e \mathbf{B} é uma matriz coluna de tamanho N , com $N(h) = 1/h - 1$.

Usando os dados da simulação anterior com o método de Runge-Kutta, com $h = 0.2$ e incrementando o valor de T_{begin} , iremos determinar as matrizes \mathbf{A} e \mathbf{B} que aproximam o valor da temperatura mais próxima de T_{end} , ou seja, T_N . Para isso, aplicaremos o método dos mínimos quadrados, minimizando os valores de \mathbf{A} e \mathbf{B} pela expressão:

$$\min_{\mathbf{A}, \mathbf{B}} J(\mathbf{A}, \mathbf{B}) = \frac{1}{2} \sum_{k=0}^K \|\mathbf{T}[k+1] - (\mathbf{A} \cdot \mathbf{T}[k] + \mathbf{B} \cdot T_{\text{begin}}[k])\|^2. \quad (15)$$

Para encontrar o mínimo dessa função, derivamos e igualamos a zero, localizando o ponto de mínimo global da função quadrática. Podemos reescrever a equação na forma matricial $\mathbf{M}\mathbf{x} = \mathbf{f}$, onde:

$$\mathbf{M} = \begin{bmatrix} \mathbf{T}^T[0] & T_{\text{begin}}[0] \\ \mathbf{T}^T[1] & T_{\text{begin}}[1] \\ \vdots & \vdots \\ \mathbf{T}^T[K] & T_{\text{begin}}[K] \end{bmatrix}, \quad \mathbf{x} = \begin{bmatrix} \mathbf{A} \\ \mathbf{B}^T \end{bmatrix}, \quad \mathbf{f} = \begin{bmatrix} \mathbf{T}_N^T[1] \\ \mathbf{T}_N^T[2] \\ \vdots \\ \mathbf{T}_N^T[K+1] \end{bmatrix}. \quad (16)$$

A função objetivo torna-se então:

$$\min_{\mathbf{x}} J(\mathbf{x}) = \frac{1}{2} \|\mathbf{M} \cdot \mathbf{x} - \mathbf{f}\|^2. \quad (17)$$

Derivando a equação, obtemos:

$$\frac{\partial J(\mathbf{x})}{\partial \mathbf{x}} = \mathbf{M}^T(\mathbf{M} \cdot \mathbf{x} - \mathbf{f}). \quad (18)$$

Logo, igualando a zero e resolvendo o sistema, encontramos os valores de \mathbf{A} e \mathbf{B} que minimizam a função J . A solução é dada por:

$$\mathbf{M}^T \mathbf{M} \mathbf{x} = \mathbf{M}^T \mathbf{f}, \quad (19)$$

onde $\mathbf{M}^T \mathbf{M}$ é uma matriz simétrica e definida positiva, podendo ser resolvida com a fatoração de Cholesky.

Porém, não conseguimos solucionar o sistema de maneira satisfatória usando apenas os valores T_{begin} como entrada para o sistema. Isso ocorre porque, com apenas uma entrada, não conseguimos representar dois comportamentos diferentes: a descida no início e a resposta aos degraus após o primeiro incremento em T_{begin} . Como podemos ver no gráfico a seguir, mesmo acrescentando uma regularização em \mathbf{x} , o resultado ainda é insuficiente.

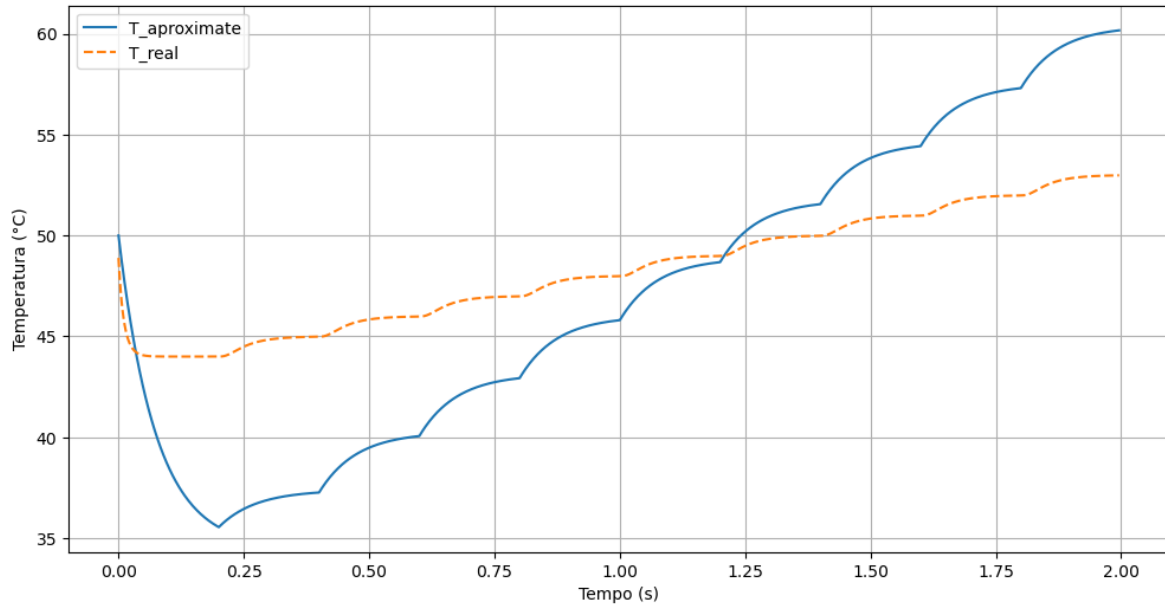


Figura 16: Representação do sistema de calor (apenas com T_{begin})

Então decidimos considerar também T_{end} , modificando a equação para:

$$\mathbf{T}[k+1] = \mathbf{A} \cdot \mathbf{T}[k] + \mathbf{B} \cdot T_{\text{begin}}[k] + \mathbf{C} \cdot T_{\text{end}}[k]. \quad (20)$$

O código desenvolvido em python foi:

```

1 import numpy as np
2 from scipy.linalg import ldl, cholesky
3
4 def solver_linear(A, b):
5     A_ = A.T @ A
6     b_ = A.T @ b
7     L = cholesky(A_)
8     y = np.linalg.solve(L, b_)
9     x = np.linalg.solve(L.T, y)
10
11     return x
12
13 T = result_runge_with_incr.T
14 f = T[1:]
15
16 M = np.zeros((T.shape[0] - 1, T.shape[1] + 2))
17
18 for i in range(4):
19     M[:, i] = result_runge_with_incr[i][:-1]
20 M[:, 4] = T_begin_history[:-1]
21 M[:, 5] = np.ones(T.shape[0] - 1) * Tend
22
23 W = solver_linear(M, f)
24

```

```

25 a = W[:4]
26 b = W[4]
27 c = W[5]
28
29 print(a, b, c)

```

Listing 5: Python - Gauss com Pivoteamento

Com isso, \mathbf{M} , \mathbf{x} e \mathbf{f} passam a ser:

$$\mathbf{M} = \begin{bmatrix} \mathbf{T}^T[0] & T_{\text{begin}}[0] & T_{\text{end}}[0] \\ \mathbf{T}^T[1] & T_{\text{begin}}[1] & T_{\text{end}}[1] \\ \vdots & \vdots & \vdots \\ \mathbf{T}^T[K] & T_{\text{begin}}[K] & T_{\text{end}}[K] \end{bmatrix}, \quad \mathbf{x} = \begin{bmatrix} \mathbf{A} \\ \mathbf{B}^T \\ \mathbf{C}^T \end{bmatrix}, \quad \mathbf{f} = \begin{bmatrix} \mathbf{T}^T[1] \\ \mathbf{T}^T[2] \\ \vdots \\ \mathbf{T}^T[K+1] \end{bmatrix}.$$

Resolvendo o sistema, conseguimos um resultado satisfatório:

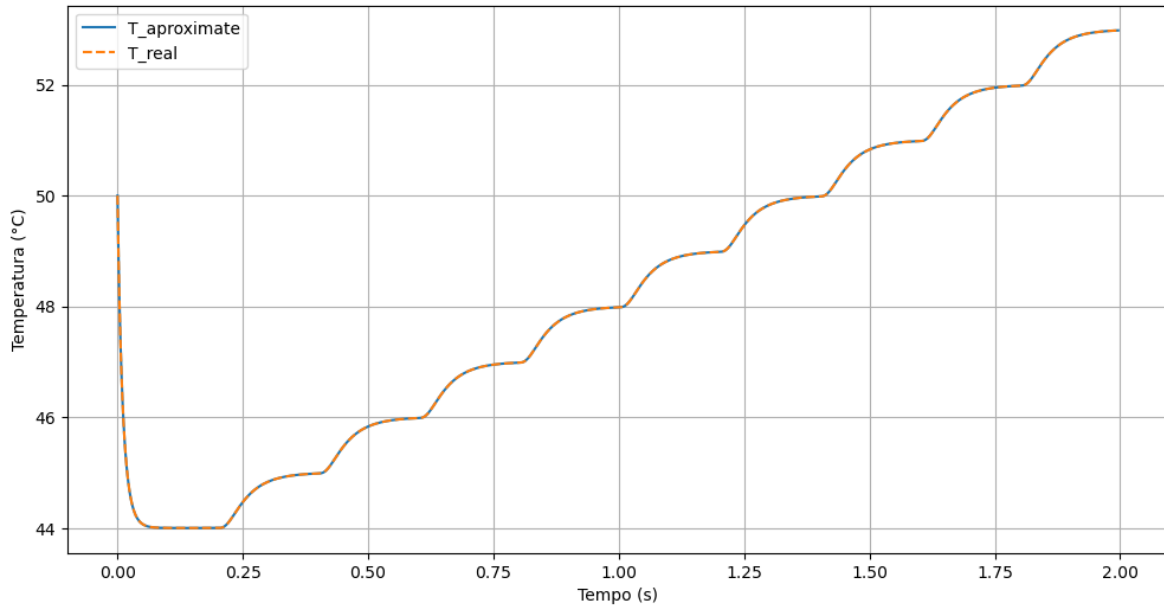


Figura 17: Representação do sistema de calor

Com as matrizes sendo:

$$\mathbf{A} = \begin{bmatrix} 0.78493 & 0.09781 & 0.00613 & 0.00024 \\ 0.09781 & 0.79106 & 0.09806 & 0.00613 \\ 0.00613 & 0.09806 & 0.79106 & 0.09781 \\ 0.00024 & 0.00613 & 0.09781 & 0.78493 \end{bmatrix}, \quad \mathbf{B} = \begin{bmatrix} 0.110860 \\ 0.006652 \\ 0.000264 \\ 0.000010 \end{bmatrix}, \quad \mathbf{C} = \begin{bmatrix} 0.000010 \\ 0.000264 \\ 0.006652 \\ 0.110860 \end{bmatrix}.$$

Onde, para T_N , o vetor \mathbf{a} e as constantes b e c , responsáveis por seu comportamento, são dados por: $\mathbf{a} = [0.00024 \ 0.00613 \ 0.09781 \ 0.78493]^T$, $b = 0.000264$ e $c = 0.006652$.

5 Questão 4

Temos três pontos dados:

$$P_1(3, 2), \quad P_2(7, 5), \quad P_3(-5, -1)$$

A partir desses pontos, queremos encontrar um polinômio de oitava ordem $p(x)$ que os interpole. O polinômio tem a seguinte forma:

$$p(x) = \sum_{i=0}^8 w_i x^i \quad (21)$$

Onde w_0, w_1, \dots, w_8 são os coeficientes que devem ser determinados de modo que o polinômio passe pelos pontos fornecidos, minimizando a norma quadrática $\|w\|^2$, dada por:

$$\|\mathbf{w}\|^2 = w_0^2 + w_1^2 + \dots + w_8^2 \quad (22)$$

De acordo com os pontos dados e a estrutura do polinômio, obtemos o sistema de equações:

$$\mathbf{A} = \begin{bmatrix} 1.0 & 3.0 & 9.0 & 27.0 & 81.0 & 243.0 & 729.0 & 2187.0 & 6561.0 \\ 1.0 & 7.0 & 49.0 & 343.0 & 2401.0 & 16807.0 & 117649.0 & 823543.0 & 5764801.0 \\ 1.0 & -5.0 & 25.0 & -125.0 & 625.0 & -3125.0 & 15625.0 & -78125.0 & 390625.0 \end{bmatrix}$$

$$\mathbf{w} = \begin{bmatrix} w_0 \\ w_1 \\ w_2 \\ w_3 \\ w_4 \\ w_5 \\ w_6 \\ w_7 \\ w_8 \end{bmatrix}$$

$$\mathbf{b} = \begin{bmatrix} 2 \\ 5 \\ -1 \end{bmatrix}$$

Então, montamos o sistema linear: $\mathbf{Aw} = \mathbf{b}$.

Para a minimização da norma, temos a seguinte expressão:

$$J(\mathbf{x}) = \|\mathbf{Aw} - \mathbf{b}\|^2 + \lambda \|\mathbf{w}\|^2 \quad (23)$$

Onde, encontramos seu mínimo derivando e igualando a zero:

$$\frac{\partial J(\mathbf{w})}{\partial \mathbf{w}} = (\mathbf{A}^T \mathbf{A} + \lambda \mathbf{I})\mathbf{w} - \mathbf{A}^T \mathbf{b} \quad (24)$$

Para isso, precisamos apenas solucionar:

$$(\mathbf{A}^T \mathbf{A} + \lambda \mathbf{I})\mathbf{w} = \mathbf{A}^T \mathbf{b} \quad (25)$$

5.1 Minimização Usando LDL^T

Este sistema pode ser resolvido usando o método LDL^T com AMD , por conta de sua simetria em $\mathbf{A}^T\mathbf{A}$. O código Python a seguir implementa a solução:

```

1 import numpy as np
2 from scipy.linalg import ldl
3
4 POINTS = np.array([[3, 2], [7, 5], [-5, -1]])
5 ORDER = 8
6
7 def solver(A, b, lambda_value, ORDER):
8     A_ = A.T @ A + lambda_value * np.eye(ORDER + 1)
9     b_ = A.T @ b
10
11     L, D, perm = ldl(A_)
12     z = np.linalg.solve(L, b_)
13     y = z / np.diag(D)
14     x_regularizado = np.linalg.solve(L.T, y)
15
16     return x_regularizado
17
18 A = np.zeros((len(POINTS), ORDER + 1))
19 for i in range(len(POINTS)):
20     for j in range(ORDER + 1):
21         A[i][j] = POINTS[i][0]**j
22
23 b = np.array([point[1] for point in POINTS])
24 x1_regularizado = solver(A, b, 1, ORDER)
25 x2_regularizado = solver(A, b, 1e6, ORDER)
26 print(x_regularizado)

```

Listing 6: Python - Solução LDL^T

Após a resolução do sistema linear com regularização, obtivemos os coeficientes \mathbf{w} para dois valores de λ : $\lambda = 10^6$ e $\lambda = 1$. A tabela a seguir mostra os coeficientes w_i obtidos para cada valor de λ .

Índice i	$w_i(\lambda = 10^6)$	$w_i(\lambda = 1)$
0	$1.34505281 \times 10^{-6}$	$4.12287279 \times 10^{-6}$
1	$3.92951125 \times 10^{-6}$	$1.20435014 \times 10^{-5}$
2	$1.22044597 \times 10^{-5}$	$3.74113504 \times 10^{-5}$
3	$3.37475797 \times 10^{-5}$	$1.03416627 \times 10^{-4}$
4	$1.10068549 \times 10^{-4}$	$3.37444617 \times 10^{-4}$
5	$2.47554288 \times 10^{-4}$	$7.58113782 \times 10^{-4}$
6	$8.86263492 \times 10^{-4}$	$2.71771853 \times 10^{-3}$
7	$5.31941626 \times 10^{-5}$	$1.42214668 \times 10^{-4}$
8	$-2.55881297 \times 10^{-5}$	$-7.72699662 \times 10^{-5}$

Tabela 4: Valores dos coeficientes \mathbf{w} para $\lambda = 10^6$ e $\lambda = 1$

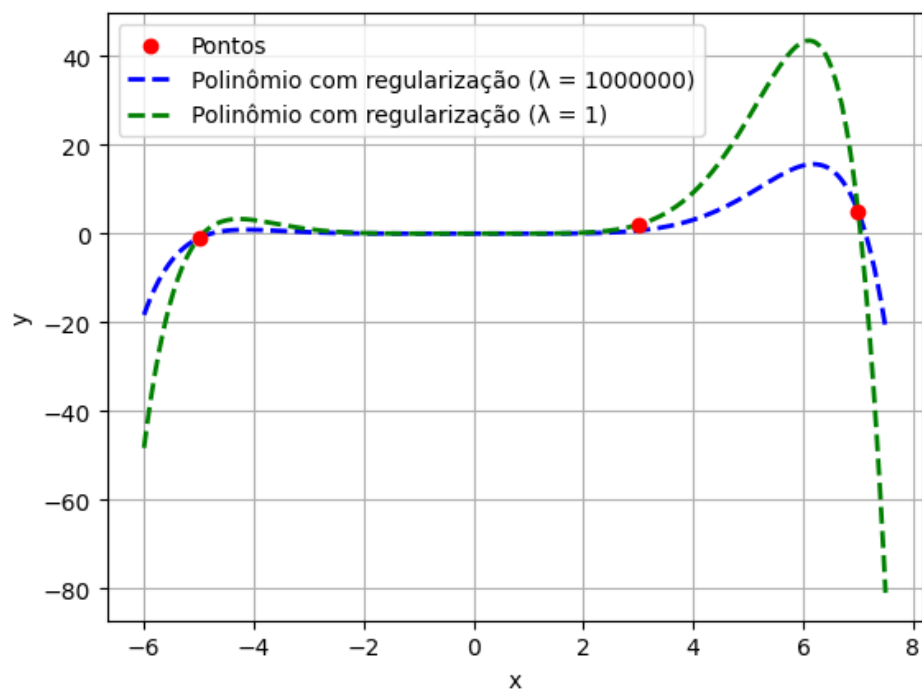


Figura 18: Interpolação - Polinômio de 8^a Ordem

5.2 Minimização Usando Gradiente Residual

Também podemos resolver essa questão usando o método iterativo do gradiente residual, que consiste em, a cada iteração, de acordo com o resíduo do sistema, incrementar as variáveis de solução até que o resíduo seja pequeno o suficiente. Este método é eficiente quando a solução direta do sistema linear é computacionalmente cara ou impraticável.

Definimos o resíduo \mathbf{r} como a diferença entre o lado esquerdo e o lado direito da equação $\mathbf{Ax} = \mathbf{b}$, ou seja:

$$\mathbf{r} = \mathbf{br} - \mathbf{Arx}$$

Onde $Ar = A^T A + I\lambda$ e $br = A^T Ab$, apresentados anteriormente no sistema com regularização.

A cada iteração, o vetor de solução \mathbf{x} é atualizado pela fórmula:

$$\mathbf{x}_{k+1} = \mathbf{x}_k + \alpha_k \mathbf{p}_k$$

onde \mathbf{p}_k é o vetor direcional de busca, calculado com base no gradiente do resíduo e α_k é o passo de atualização, dado pela fórmula:

$$\alpha_k = \frac{\mathbf{r}_k^T \mathbf{r}_k}{\mathbf{p}_k^T \mathbf{A} \mathbf{p}_k}$$

Esse processo continua até que o resíduo seja suficientemente pequeno, ou seja, $\|\mathbf{r}_k\|$ atinja um valor desejado, indicando que a solução \mathbf{x} foi encontrada com a precisão desejada.

```
1 A = np.zeros((len(POINTS), ORDER + 1))
2 for i in range(len(POINTS)):
3     for j in range(ORDER + 1):
4         A[i][j] = POINTS[i][0]**j
5
6 b = np.array([point[1] for point in POINTS])
7
8 def residual_gradient(A_, b_, x0, lambda_value, tol=1e-6,
9 max_iter=1000):
10     A = A_.T @ A_ + lambda_value * np.eye(ORDER + 1)
11     b = A_.T @ b_
12
13     x = x0
14     r = b - np.dot(A, x)
15     p = r
16     k = 0
17
18     for _ in range(max_iter):
19         alpha_k = np.dot(r.T, r) / np.dot(np.dot(p.T, A), p)
20         x = x + alpha_k * p
21         r_new = r - alpha_k * np.dot(A, p)
22         beta_k = np.dot(r_new.T, r_new) / np.dot(r.T, r)
23         p = r_new + beta_k * p
24         r = r_new
```

```

24         k += 1
25
26         if np.linalg.norm(r) < tol:
27             print(f'Convergiu em {k} itera es')
28             break
29
30     return x
31
32 x1_regularizado = residual_gradient(A, b, [0, 1, 2, 3, 4, 5, 6,
33 7, 8], 1)
x2_regularizado = residual_gradient(A, b, [0, 1, 2, 3, 4, 5, 6,
7, 8], 1000000)

```

Listing 7: Python - Solução LDL^T

No nosso caso, o método convergiu após 10 iterações para $\lambda = 10^5$ e após 16 iterações para $\lambda = 1$, para os valores:

Índice i	$w_i(\lambda = 10^5)$	$w_i(\lambda = 1)$
0	$1.34505282 \times 10^{-6}$	$1.58324477 \times 10^{-6}$
1	$3.92951113 \times 10^{-6}$	$3.95525090 \times 10^{-6}$
2	$1.22044614 \times 10^{-5}$	$1.63759881 \times 10^{-5}$
3	$3.37475746 \times 10^{-5}$	$2.77898875 \times 10^{-5}$
4	$1.10068564 \times 10^{-4}$	$1.80761394 \times 10^{-4}$
5	$2.47554161 \times 10^{-4}$	$8.55803541 \times 10^{-5}$
6	$8.86263564 \times 10^{-4}$	$2.92607339 \times 10^{-3}$
7	$5.31941711 \times 10^{-5}$	$1.75071692 \times 10^{-4}$
8	$-2.55881320 \times 10^{-5}$	$-8.41852815 \times 10^{-5}$

Tabela 5: Valores dos coeficientes \mathbf{w} para $\lambda = 10^5$ e $\lambda = 1$

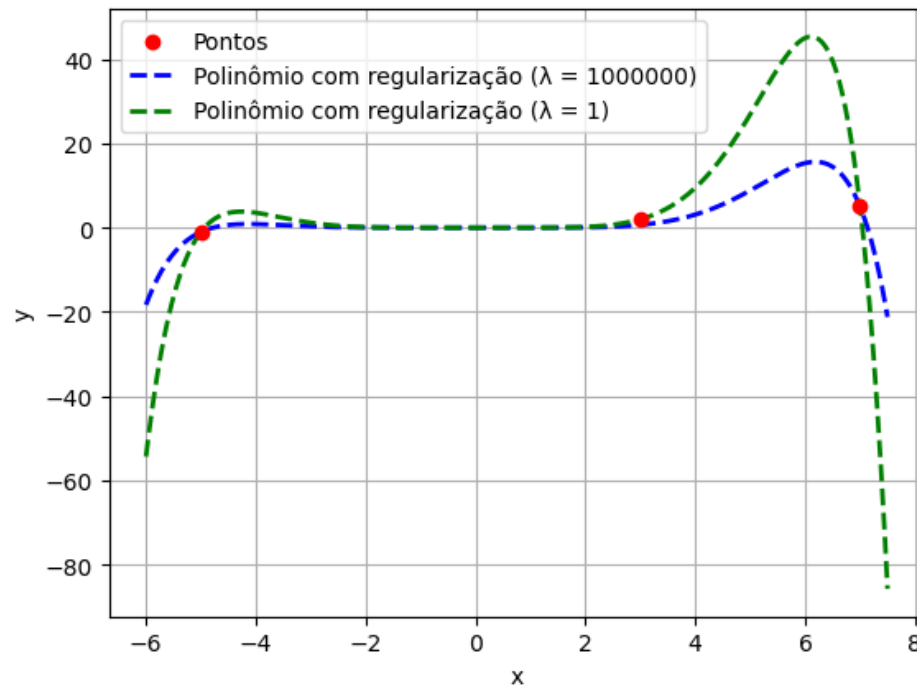


Figura 19: Interpolação com Resíduo Gradiente - Polinômio de 8^a Ordem

6 Problema 5: Mínimo de Função

Uma empresa tem o custo de fabricação de um produto dado por:

$$\bar{C}(q) = 0.0001q^2 - 0.08q + \frac{5000}{q} + 65$$

Nosso objetivo é encontrar o custo mínimo de produção, ou seja, o ponto ótimo, onde se tem o menor custo com a maior taxa de fabricação. Para isso, precisamos analisar a função e verificar se ela é convexa para a parte positiva de q , que corresponde à quantidade possível de fabricação, já que não se produzem quantidades negativas.

Para saber se a função é convexa na parte positiva, precisamos encontrar a segunda derivada. Caso ela seja positiva para todo o intervalo, a função é convexa.

Assim, as derivadas estão definidas como:

Primeira derivada:

$$\frac{d\bar{C}}{dq} = 0.0002q - 0.08 - \frac{5000}{q^2}$$

Segunda derivada:

$$\frac{d^2\bar{C}}{dq^2} = 0.0002 + \frac{10000}{q^3}$$

Logo, podemos ver que a segunda derivada é positiva para todo valor $q > 0$. Então sim, podemos achar o ponto ótimo nessa função para uma quantidade positiva do produto.

Para encontrar o ponto mínimo, implementaremos o método de Newton, utilizando a segunda derivada, que vai nos garantir que, a cada iteração, iremos em direção a um mínimo local, verificando a concavidade da função.

Então, a função para iterar será:

$$q_{k+1} = q_k - \frac{f'(q_k)}{f''(q_k)}$$

onde iniciaremos com $q_k = q_0 = 50$.

Implementamos em Python como:

```
1 ALPHA = 0.0001
2 BETA = -0.08
3 LAMBDA = 5000
4 GAMA = 65
5
6 def f(q):
7     return ALPHA*q**2 + BETA*q + LAMBDA/q + GAMA
8
9 def f_d1(q):
10    return 2*ALPHA*q + BETA - LAMBDA/(q**2)
11
12 def f_d2(q):
13    return 2*ALPHA + 2*LAMBDA/(q**3)
14
15 def newton_method(q0):
16    # init the values
```

```

17 last_q = q0
18 q      = q0
19 counter = 1
20
21 for _ in range(1000):
22     # calculate the new value
23     q = last_q - f_d1(last_q)/f_d2(last_q)
24
25     # verify if the solution is close enough
26     if abs(q - last_q) < 1e-6:
27         break
28
29     # update the last value
30     last_q = q
31     counter += 1
32
33 return q, counter

```

Listing 8: Python - Método de Newton

Ao executar o teste, convergimos em 10 iterações para $q = 500$, onde os primeiros 4 valores foram $[75.81, 116.18, 181.14, 285.35]$. Podemos ver no gráfico abaixo que realmente esse valor se situa no mínimo da função:

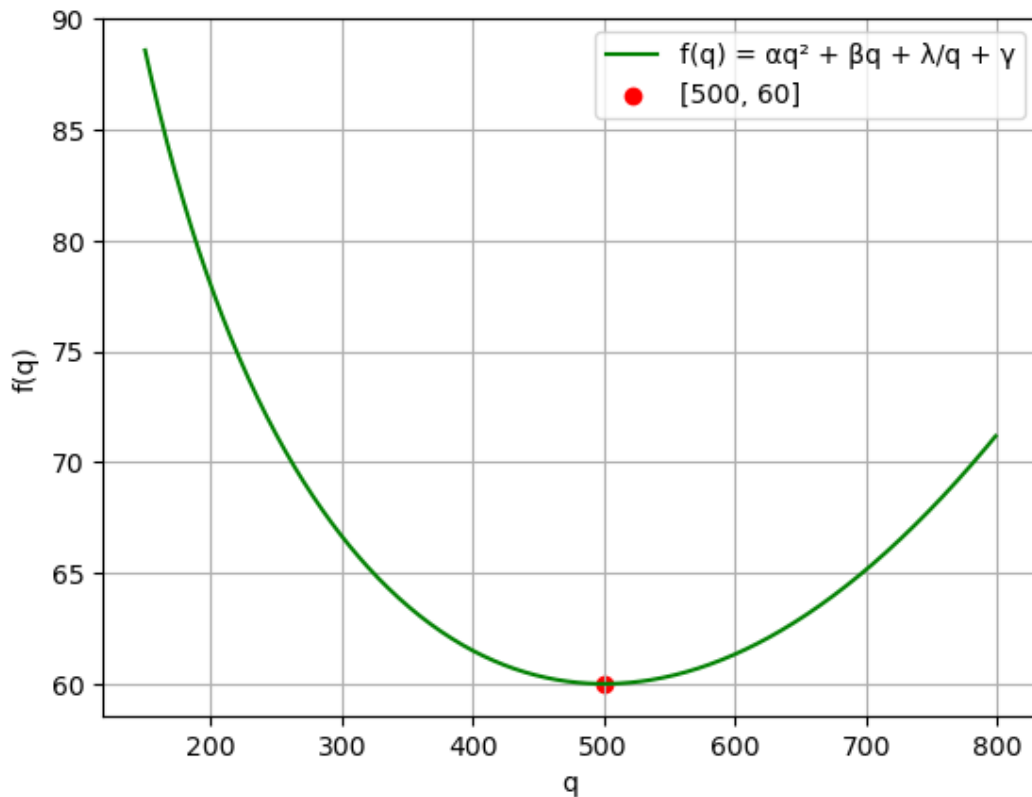


Figura 20: Custo Produto

7 Conclusão

Os métodos numéricos aplicados neste trabalho mostraram-se ferramentas poderosas e versáteis para resolver problemas complexos. Os métodos de integração evidenciaram como diferentes abordagens podem equilibrar precisão e eficiência computacional, enquanto a resolução de EDPs destacou o impacto da discretização e das condições de contorno nos resultados obtidos. Para sistemas lineares e interpolação, as técnicas de regularização, como a fatoração de Cholesky, e os métodos iterativos demonstraram ser soluções robustas para problemas mal condicionados ou com restrições específicas. Por fim, a otimização via método de Newton reforçou a importância de métodos baseados em derivadas para encontrar soluções rápidas e precisas em funções convexas.